

ACTAS

DE LAS

XXXVIII Jornadas de Automática

Gijón · Palacio de Congresos · 6, 7 y 8 de Septiembre de 2017



Universidad de Oviedo
Universidá d'Uviéu
University of Oviedo



CEA
Comité Español
de Automática

Colabora

Gijón

Convention Bureau

Actas de

XXXVIII

Jornadas de Automática

© 2017 Universidad de Oviedo
© Los autores

Servicio de Publicaciones de la Universidad de Oviedo
Campus de Humanidades. Edificio de Servicios. 33011 Oviedo (Asturias)
Tel. 985 10 95 03 Fax 985 10 95 07
[http: www.uniovi.es/publicaciones](http://www.uniovi.es/publicaciones)
servipub@uniovi.es

DL AS 2749-2017

ISBN: 978-84-16664-74-0

Todos los derechos reservados. De conformidad con lo dispuesto en la legislación vigente, podrán ser castigados con penas de multa y privación de libertad quienes reproduzcan o plagien, en todo o en parte, una obra literaria, artística o científica, fijada en cualquier tipo y soporte, sin la preceptiva autorización.

Prefacio

Las *Jornadas de Automática* se celebran desde hace **40 años** en una universidad nacional facilitando el encuentro entre expertos en esta área en un foro que permite la puesta en común de las nuevas ideas y proyectos en desarrollo. Al mismo tiempo, propician la siempre necesaria colaboración entre investigadores del ámbito de la Ingeniería de Control y Automática, así como de campos afines, a la hora de abordar complejos proyectos de investigación multidisciplinares.

En esta ocasión, las Jornadas estarán organizadas por la Universidad de Oviedo y se han celebrado del 6 al 8 de septiembre de 2017 en el Palacio de Congresos de Gijón, colaborando tanto la Escuela Politécnica de Ingeniería de Gijón (EPI) como el Departamento de Ingeniería Eléctrica, Electrónica de Computadores y de Sistemas del que depende el Área de Ingeniería de Sistemas y Automática.

Además de las habituales actividades científicas y culturales, esta edición es muy especial al celebrarse el **50 aniversario de la creación de CEA**, Comité Español de Automática. Igualmente este año se conmemora el 60 aniversario de la Federación Internacional del Control Automático de la que depende CEA. Así se ha llevado a cabo la presentación del libro que se ha realizado bajo la coordinación de D. Sebastián Dormido, sobre la historia de la Automática en España en una sesión en la que han participado todos los ex-presidentes de CEA conjuntamente con el actual, D. Joseba Quevedo.

Igualmente hemos contado con la presencia de conferenciantes de prestigio para las sesiones plenarias, comunicaciones y ponencias orales en las reuniones de los 9 grupos temáticos, contribuciones en formato póster. Se ha celebrado también el concurso de CEABOT, así como una nueva Competición de Drones, con el ánimo de involucrar a más estudiantes de últimos cursos de Grado/Máster.

En el marco de las actividades culturales programadas se ha podido efectuar un recorrido en el casco antiguo situado en torno al Cerro de Santa Catalina y visitar la Laboral.

Gijón, septiembre de 2017

Hilario López
Presidente del Comité Organizador

Program Committee

Antonio Agudo	Institut de Robòtica i Informàtica Industrial
Rosa M Aguilar	University of La Laguna.
Luciano Alonso	University of Cantabria
Ignacio Álvarez García	Universidad de Oviedo
Antonio Javier Artuñedo García	Centre for Automation and Robotics (CSIC-UPM)
José M. Azorín	Miguel Hernandez University of Elche
Pedro Balaguer	Universitat Jaume I
Antonio Javier Barragán Piña	Universidad de Huelva
Alfonso Baños	Universidad de Murcia
Guillermo Bejarano	University of Seville
Gerardo Beruvides	Centro de Automática y Robótica
Carlos Bordons	University of Seville
Jose Manuel Bravo	University of Huelva
Jose Luis Calvo-Rolle	University of A Coruña
Fernando Castaño Romero	Centro de Automática y Robótica (UPM -CSIC)
José Luis Casteleiro-Roca	University of Coruña
Alvaro Castro-Gonzalez	Universidad Carlos III de Madrid
Ramon Costa-Castelló	Universitat Politècnica de Catalunya
Abel A. Cuadrado	University of Oviedo
Arturo De La Escalera	Universidad Carlos III de Madrid
Emma Delgado	Universidad de Vigo
Jose-Luis Diez	Universitat Politecnica de Valencia
Manuel Domínguez	Universidad de León
Juan Manuel Escaño	Universidad de Sevilla
Mario Francisco	University of Salamanca
Maria Jesus Fuente	Universidad de Valladolid
Juan Garrido	Universtiy of Cordoba
Antonio Giménez	Universidad de Almeria
Evelio Gonzalez	Universidad de La Laguna
José-Luis Guzmán	Universidad de Almería
Rodolfo Haber	Center for Automation and Robotics (UPM-CSIC)
César Ernesto Hernández	Universidad de Almería
Eloy Irigoyen	UPV/EHU
Agustin Jimenez	Universidad PolitÁcnica de Madrid
Emilio Jiménez	University of La Rioja
Jesus Lozano	Universidad de Extremadura
Jorge Luis Madrid	Centro de Automática y Robótica
Luis Magdalena	Universidad Politécnic de Madrid
David Martin Gomez	Universidad Carlos III de Madrid
Fernando Matia	Universidad Politecnica de Madrid
Joaquim Melendez	Universitat de Girona
Juan Mendez	Universidad de La Laguna
Luis Moreno	Universidad Carlos III de Madrid
María Dolores Moreno Rabel	Universidad de Extremadura
David Muñoz	Universidad de Sevilla
Antonio José Muñoz-Ramirez	Universidad de Málaga
Jose Luis Navarro	Universidad Politecnica de Valencia
Manuel G. Ortega	University of Seville
Andrzej Pawlowski	UNED
Mercedes Perez de La Parte	University of La Rioja
Ignacio Peñarrocha	Universitat Jaume I de Castelló, Spain
José Luis Pitarch	Universidad de Valladolid

Daniel Pérez	University of Oviedo
Emilio Pérez	Universitat Jaume I
Juan Pérez Oria	Universidad de Cantabria
MiguelÁngel Ridao	Universidad de Sevilla
Gregorio Sainz-Palmero	Universidad de Valladolid
Antonio Sala	Universitat Politecnica de Valencia
Ester Sales-Setién	Universitat Jaume I
Jose Sanchez	UNED
Javier Sanchis Saez	Universitat Politecnica de Valencia (UPV)
José Pedro Santos	ITEFI-CSIC
Matilde Santos	Universidad Complutense de Madrid
Alvaro Serna	University of Valladolid
José Enrique Simó	Universidad Politécnica de Valencia
José A. Somolinos	ETS I Navales. Universidad Politecnica de Madrid
Fernando Tadeo	Univ. of Valladolid
Alejandro Tapia	Universidad de Loyola Andalucía
David Tena	Universitat Jaume I
Jesús Torres	Universidad de La Laguna
Pedro M. Vallejo	Universidad de Salamanca
Guilherme Vianna	Universidad de Sevilla
Alejandro Vignoni	AI2 - UPV
Ramón Vilanova	UAB
Francisco Vázquez	Universidad de Cordoba
Jesús M. Zamarreño	University of Valladolid

Revisores Adicionales

Al-Kaff, Abdulla

Balbastre, Patricia
Beltrán de La Cita, Jorge
Bermudez-Cameo, Jesus
Blanco-Claraco, Jose-Luis
Blanes, Francisco
Bonin-Font, Francisco

Cancela, Brais

Ferraz, Luis

Garita, Cesar
Gimenez, Antonio
Gruber, Patrick
Guindel, Carlos

Hernandez Ruiz, Alejandro
Hernandez, Daniel

Jardón Huete, Alberto

López, Amable

Marin, Raul
Marín Plaza, Pablo
Mañanas, Miguel Angel
Morales, Rafael
Moreno, Francisco-Angel

Núñez, Luis Ramón

Ponz Vila, Aurelio
Posadas-Yague, Juan-Luis
Poza-Luján, Jose-Luis
Pumarola, Albert

Raya, Rafael
Revestido Herrero, Elías
Rocon, Eduardo
Ruiz Sarmiento, José Raúl
Ruiz, Adria

Torres, Jose Luis

Vaquero, Victor

Table of Contents

Ingeniería de Control

TÚNEL DE AGUA PARA PRUEBAS Y CARACTERIZACIÓN DE DISEÑOS EXPERIMENTALES DE TURBINAS HIDROCINÉTICAS	1
<i>Eduardo Alvarez, Manuel Rico-Secades, Antonio Javier Calleja Rodríguez, Joaquín Fernández Francos, Aitor Fernández Jiménez, Mario Alvarez Fernández and Samuel Camba Fernández</i>	
Reduction of population variability in protein expression: A control engineering approach.	8
<i>Yadira Boada, Alejandro Vignoni and Jesús Picó</i>	
CONTROL ROBUSTO DEL PH EN FOTOBIORREACTORES MEDIANTE RECHAZO ACTIVO DE PERTURBACIONES	16
<i>José Carreño, Jose Luis Guzman, José Carlos Moreno and Rodolfo Villamizar</i>	
Control reset para maniobra de cambio de carril y validación con CarSim	23
<i>Miguel Cerdeira, Pablo Falcón, Antonio Barreiro, Emma Delgado and Miguel Díaz-Cacho</i>	
Maniobra de aterrizaje automática de una Cessna 172P modelada en FlightGear y controlada desde un programa en C	31
<i>Mario de La Rosa, Antonio Javier Gallego and Eduardo Fernández</i>	
Alternativas para el control de la red eléctrica aislada en parques eólicos marinos	38
<i>Carlos Díaz-Sanahuja, Ignacio Peñarrocha, Ricardo Vidal-Albalade and Ester Sales-Setién</i>	
CONTROL PREDICTIVO DISTRIBUIDO UTILIZANDO MODELOS DIFUSOS PARA LA NEGOCIACIÓN ENTRE AGENTES	46
<i>Lucía Fargallo, Silvana Roxani Revollar Chavez, Mario Francisco, Pastora Vega and Antonio Cembellín</i>	
Control Predictivo en el espacio de estados de un captador solar tipo Fresnel	54
<i>Antonio Javier Gallego, Mario de La Rosa and Eduardo Fernández</i>	
Control predictivo para la operación eficiente de una planta formada por un sistema de desalación solar y un invernadero	62
<i>Juan Diego Gil Vergel, Lidia Roca, Manuel Berenguel, Alba Ruiz Aguirre, Guillermo Zaragoza and Antonio Giménez</i>	
Depuración de Aguas Residuales en la Industria 4.0	70
<i>Jesus Manuel Gomez-De-Gabriel, Ana María Jiménez Arévalo, Laura Eiroa Mateo and Fco. Javier Fernández-De-Cañete-Rodríguez</i>	
Control robusto con QFT del pH en un fotobioreactor raceway	77
<i>Ángeles Hoyo Sánchez, Jose Luis Guzman, Jose Carlos Moreno and Manuel Berenguel</i>	
Revisión sistemática de la literatura en ingeniería de sistemas. Caso práctico: técnicas de estimación distribuida de sistemas ciberfísicos	84
<i>Carmelina Ierardi, Luis Orihuela Espina, Isabel Jurado Flores, Álvaro Rodríguez Del Nozal and Alejandro Tapia Córdoba</i>	
Desarrollo de un Controlador Predictivo para Autómatas programables basado en la normativa IEC 61131-3	92
<i>Pablo Krupa, Daniel Limon and Teodoro Alamo</i>	
Diseño de un emulador de aerogenerador de velocidad variable DFIG y control de pitch ...	100
<i>Manuel Lara Ortiz, Juan Garrido Jurado and Francisco Vázquez Serrano</i>	

Observación de la fracción de agua líquida en pilas de combustible tipo PEM de cátodo abierto.....	108
<i>Julio Luna and Ramon Costa-Castelló</i>	
Control Predictivo Basado en Datos.....	115
<i>José María Manzano, Daniel Limón, Teodoro Álamo and Jan Peter Calliess</i>	
Control MPC basado en un modelo LTV para seguimiento de trayectoria con estabilidad garantizada.....	122
<i>Sara Mata, Asier Zubizarreta, Ione Nieva, Itziar Cabanes and Charles Pinto</i>	
Implementación y evaluación de controladores basados en eventos en la norma IEC-61499.	130
<i>Oscar Miguel-Escrig, Julio-Ariel Romero-Pérez and Esteban Querol-Dolz</i>	
AUTOMATIZACIÓN Y MONITORIZACIÓN DE UNA INSTALACIÓN DE ENSAYO DE MOTORES.....	138
<i>Alfonso Poncela Méndez, Miguel Ochoa Vega, Eduardo J. Moya de La Torre and F. Javier García Ruíz</i>	
OPTIMIZACIÓN Y CONTROL EN CASCADA DE TEMPERATURA DE RECINTO MEDIANTE SISTEMAS DE REFRIGERACIÓN.....	146
<i>David Rodríguez, José Enrique Alonso Alfaya, Guillermo Bejarano Pellicer and Manuel G. Ortega</i>	
Diseño LQ e implementación distribuida para la estimación de estado.....	154
<i>Álvaro Rodríguez Del Nozal, Luis Orihuela, Pablo Millán Gata, Carmelina Ierardi and Alejandro Tapia Córdoba</i>	
Estimación de fugas en un sistema industrial real mediante modelado por señales aditivas.	160
<i>Ester Sales-Setién, Ignacio Peñarrocha and David Tena</i>	
Advanced control based on MPC ideas for offshore hydrogen production.....	167
<i>Alvaro Serna, Fernando Tadeo and Julio. E Normey-Rico</i>	
Transfer function parameters estimation by symmetric send-on-delta sampling.....	174
<i>José Sánchez, María Guinaldo, Sebastián Dormido and Antonio Visioli</i>	
An Estimation Approach for Process Control based on Asymmetric Oscillations.....	181
<i>José Sánchez, María Guinaldo Losada, Sebastian Dormido, José Luis Fernández Marrón and Antonio Visioli</i>	
Robust PI controller for disturbance attenuation and its application for voltage regulation in islanded microgrid.....	189
<i>Ramon Vilanova, Carles Pedret and Orlando Arrieta</i>	
Infraestructura para explotación de datos de un simulador azucarero.....	197
<i>Jesús M. Zamarréño, Cristian Pablos, Alejandro Merino, L. Felipe Acebes and De Prada César</i>	
<hr/> Automar <hr/>	
INFRAESTRUCTURA PARA ESTUDIAR ADAPTABILIDAD Y TRANSPARENCIA EN EL CENTRO DE CONTROL VERSÁTIL.....	203
<i>Juan Antonio Bonache Seco, José Antonio Lopez Orozco, Eva Besada Portas and Jesús Manuel de La Cruz</i>	
ARQUITECTURA DE CONTROL HÍBRIDA PARA LA NAVEGACIÓN DE VEHÍCULOS SUBMARINOS NO TRIPULADOS.....	211
<i>Francisco J. Lastra, Jesús A. Trujillo, Francisco J. Velasco and Elías Revestido</i>	

Exploración y Reconstrucción 3D de Fondos Marinos Mediante AUVs y Sensores Acústicos	218
<i>Oscar L. Manrique Garcia, Mario Andrei Garzon Oviedo and Antonio Barrientos</i>	
AUTOMATIZACIÓN DE MANIOBRAS PARA UN TEC DE 2GdL	226
<i>Marina Pérez de La Portilla, José Andrés Somolinos Sánchez, Amable López Piñeiro, Rafael Morales Herrera and Eva Segura</i>	
MERBOTS PROJECT: OVERALL DESCRIPTION, MULTISENSORY AUTONOMOUS PERCEPTION AND GRASPING FOR UNDERWATER ROBOTICS INTERVENTIONS	232
<i>Pedro J. Sanz, Raul Marin, Antonio Peñalver, David Fornas and Diego Centelles</i>	
<hr/> Bioingeniería <hr/>	
MARCADORES CUADRADOS Y DEFORMACIÓN DE OBJETOS EN NAVEGACIÓN QUIRÚRGICA CON REALIDAD AUMENTADA	238
<i>Eliana Aguilar, Oscar Andres Vivas and Jose Maria Sabater-Navarro</i>	
Entrenamiento robótico de la marcha en pacientes con Parálisis Cerebral: definición de objetivos, propuesta de tratamiento e implementación clínica preliminar	244
<i>Cristina Bayón, Teresa Martín-Lorenzo, Beatriz Moral-Saiz, Óscar Ramírez, Álvaro Pérez-Somarriba, Sergio Lerma-Lara, Ignacio Martínez and Eduardo Rocon</i>	
PREDICCIÓN DE ACTIVIDADES DE LA VIDA DIARIA EN ENTORNOS INTELIGENTES PARA PERSONAS CON MOVILIDAD REDUCIDA	251
<i>Arturo Bertomeu-Motos, Santiago Ezquerro, Juan Antonio Barios, Luis Daniel Lledó, Francisco Javier Badesa and Nicolas Garcia-Aracil</i>	
Sistema de Visión Estereoscópico para el guiado de un Robot Quirúrgico en Operaciones de Cirugía Laparoscópica HALS.....	256
<i>Carlos Castedo Hernández, Rafael Estop Remacha, Eusebio de La Fuente López and Lidia Santos Del Blanco</i>	
Head movement assessment of cerebral palsy users with severe motor disorders when they control a computer thought eye movements.....	264
<i>Alejandro Clemotte, Miguel A. Velasco and Eduardo Rocon</i>	
Diseño de un sensor óptico de fuerza para exoesqueletos de mano.....	270
<i>Jorge Diez Pomares, Andrea Blanco Ivorra, José María Catalan Orts, Francisco Javier Badesa Clemente, José María Sabater and Nicolas Garcia Aracil</i>	
POSIBILIDADES DEL USO DE TRAMAS ARTIFICIALES DE IMAGEN MOTORA PARA UN BCI BASADO EN EEG	276
<i>Josep Dinarès-Ferran, Christoph Guger and Jordi Solé-Casals</i>	
EFFECTOS SOBRE LA ERD EN TAREAS DE CONTROL DE EXOESQUELETO DE MANO EMPLEANDO BCI.....	282
<i>Santiago Ezquerro, Juan Antonio Barios, Arturo Bertomeu-Motos, Luisa Lorente, Nuria Requena, Irene Delegido, Francisco Javier Badesa and Nicolas Garcia-Aracil</i>	
Formulación Topológica Adaptada para la Simulación y Control de Exoesqueletos Accionados con Transmisiones Harmonic Drive.....	288
<i>Andres Hidalgo Romero and Eduardo Rocon</i>	

Identificación de contracciones isométricas de la extremidad superior en pacientes con lesión medular incompleta mediante características espectrales de la electromiografía de alta densidad (HD-EMG)	296
<i>Mislav Jordanic, Mónica Rojas-Martínez, Joan Francesc Alonso, Carolina Migliorelli and Miguel Ángel Mañanas</i>	
Diseño de una plataforma para analizar el efecto de la estimulación mecánica aferente en el temblor de pacientes con temblor esencial	302
<i>Julio S. Lora, Roberto López, Jesús González de La Aleja and Eduardo Rocon</i>	
DEFINICIÓN DE UN PROTOCOLO PARA LA MEDIDA PRECISA DEL RANGO CERVICAL EMPLEANDO TECNOLOGÍA INERCIAL	308
<i>Álvaro Martín, Rafael Raya, Cristina Sánchez, Rodrigo Garcia-Carmona, Oscar Ramirez and Abraham Otero</i>	
SISTEMA BRAIN-COMPUTER INTEFACE DE NAVEGACIÓN WEB ORIENTADO A PERSONAS CON GRAVE DISCAPACIDAD.....	313
<i>Víctor Martínez-Cagigal, Javier Gómez-Pilar, Daniel Álvarez, Eduardo Santamaría-Vázquez and Roberto Hornero</i>	
ESTRATEGIAS DE NEUROESTIMULACIÓN TRANSCRANEAL POR CORRIENTE DIRECTA PARA MEJORA COGNITIVA	320
<i>Silvia Moreno Serrano, Mario Ortiz and José María Azorín Poveda</i>	
COMPARATIVA DE ALGORITMOS PARA LA DETECCIÓN ONLINE DE IMAGINACIÓN MOTORA DE LA MARCHA BASADO EN SEÑALES DE EEG	328
<i>Marisol Rodríguez-Ugarte, Irma Nayeli Angulo Sherman, Eduardo Iáñez and Jose M. Azorin</i>	
DETECCIÓN, MEDIANTE UN GUANTE SENSORIZADO, DE MOVIMIENTOS SELECCIONADOS EN UN SISTEMA ROBOTIZADO COLABORATIVO PARA HALS	334
<i>Lidia Santos, José Luis González, Eusebio de La Fuente, Juan Carlos Fraile and Javier Pérez Turiel</i>	
BIOSENSORES PARA CONTROL Y SEGUIMIENTO PATOLOGÍAS REUMATOIDES	340
<i>Amparo Tirado, Raúl Marín, José V Martí, Miguel Belmonte and Pedro Sanz</i>	
Assessment of tremor severity in patients with essential tremor using smartwatches	347
<i>Miguel A. Velasco, Roberto López-Blanco, Juan P. Romero, M. Dolores Del Castillo, J. Ignacio Serrano, Julián Benito-León and Eduardo Rocon</i>	
INTERFAZ CEREBRO-ORDENADOR PARA EL CONTROL DE UNA SILLA DE RUEDAS A TRAVÉS DE DOS PARADIGMAS DE NAVEGACIÓN	353
<i>Fernández-Rodríguez Álvaro, Velasco-Álvarez Francisco and Ricardo Ron-Angevin</i>	
<hr/>	
Control Inteligente	
<hr/>	
Aprendizaje por Refuerzo para sistemas lineales discretos con dinámica desconocida: Simulación y Aplicación a un Sistema Electromecánico	360
<i>Henry Diaz, Antonio Sala and Leopoldo Armesto</i>	
Diseño de sistemas de control en cascada clásico y borroso para el seguimiento de trayectorias	368
<i>Javier G. Gonzalez, Rodolfo Haber, Fernando Matia and Marcelino Novo</i>	

ANÁLISIS FORMAL DE LA DINÁMICA DE SISTEMAS NO LINEALES MEDIANTE REDES NEURONALES.....	376
<i>Eloy Irigoyen, Mikel Larrea, A. Javier Barragán, Miguel Ángel Martínez and José Manuel Andújar</i>	
Predicción de la energía renovable proveniente del oleaje en las islas de Fuerteventura y Lanzarote.	384
<i>G.Nicolás Marichal, Deivis Avila, Ángela Hernández, Isidro Padrón and José Ángel Rodríguez</i>	
Aplicación de Redes Neuronales para la Estimación de la Resistencia al Avance en Buques	393
<i>Daniel Marón Blanco and Matilde Santos</i>	
Novel Fuzzy Torque Vectoring Controller for Electric Vehicles with per-wheel Motors	401
<i>Alberto Parra, Martín Dendaluze, Asier Zubizarreta and Joshué Pérez</i>	
REPOSTAJE EN TIERRA DE UN AVIÓN MEDIANTE ALGORITMOS GENÉTICOS .	408
<i>Elías Plaza and Matilde Santos</i>	
VISUALIZACIÓN WEB INTERACTIVA PARA EL ANÁLISIS DEL CHATTER EN LAMINACIÓN EN FRÍO.....	416
<i>Daniel Pérez López, Abel Alberto Cuadrado Vega and Ignacio Díaz Blanco</i>	
BANCADA PARA ANÁLISIS INTELIGENTE DE DATOS EN MONITORIZACIÓN DE SALUD ESTRUCTURAL.....	424
<i>Daniel Pérez López, Diego García Pérez, Ignacio Díaz Blanco and Abel Alberto Cuadrado Vega</i>	
CONTROL DE UN VEHÍCULO CUATRIRROTOR BASADO EN REDES NEURONALES.....	431
<i>Jesus Enrique Sierra and Matilde Santos</i>	
CONTROL PREDICTIVO FUZZY CON APLICACIÓN A LA DEPURACIÓN BIOLÓGICA DE FANGOS ACTIVADOS.....	437
<i>Pedro M. Vallejo Llamas and Pastora Vega Cruz</i>	
<hr/> Educación en Automática <hr/>	
REFLEXIONES SOBRE EL VALOR DOCENTE DE UNA COMPETICION DE DRONES EN LA EDUCACIÓN PARA EL CONTROL.....	445
<i>Ignacio Díaz Blanco, Alvaro Escanciano Urigüen, Antonio Robles Alvarez and Hilario López García</i>	
Uso del Haptic Paddle con aprendizaje basado en proyectos	451
<i>Juan M. Gandarias, Antonio José Muñoz-Ramírez and Jesus Manuel Gomez-De-Gabriel</i>	
REPRESENTACION INTEGRADA DE ACCIONAMIENTOS MECANICOS Y CONTROL DE EJES ORIENTADA A LA COMUNICACIÓN Y DOCENCIA EN MECATRONICA	457
<i>Julio Garrido Campos, David Santos Esterán, Juan Sáez López and José Ignacio Armesto Quiroga</i>	
Construcción y modelado de un prototipo fan & plate para prácticas de control automático	465
<i>Cristina Lampon, Javier Martin, Ramon Costa-Castelló and Muppaneni Lokesh Chowdary</i>	

EDUCACION EN AUTOMATICA E INDUSTRIA 4.0 MEDIANTE LA APLICACIÓN DE TECNOLOGÍAS 3D	471
<i>Jose Ramon Llata, Esther Gonzalez-Sarabia, Carlos Torre-Ferrero and Ramon Sancibrian</i>	
Desarrollo e implementación de un sistema de control en una planta piloto hibrida.....	479
<i>Maria P. Marcos, Cesar de Prada and Jose Luis Pitarch</i>	
LA INFORMÁTICA INDUSTRIAL EN LAS INGENIERÍAS INDUSTRIALES	486
<i>Rogelio Mazaeda, Eusebio de La Fuente López, José Luis González, Eduardo J. Moya de La Torre, Miguel Angel García Blanco, Javier García Ruiz, María Jesús de La Fuente Aparicio, Gregorio Sainz Palmero and Smaranda Cristea</i>	
Ventajas docentes de un flotador magnético para la experimentación de técnicas control ..	495
<i>Eduardo Montijano, Carlos Bernal, Carlos Sagües, Antonio Bono and Jesús Sergio Artal</i>	
PROGRAMACIÓN ATRACTIVA DE PLC	502
<i>Eduardo J. Moya de La Torre, F. Javier García Ruíz, Alfonso Poncela Méndez and Victor Barrio Lángara</i>	
MODERNIZACIÓN DE EQUIPO FEEDBACK MS-150 PARA EL APRENDIZAJE ACTIVO EN INGENIERÍA DE CONTROL	510
<i>Perfecto Reguera Acevedo, Miguel Ángel Prada Medrano, Antonio Morán Álvarez, Juan José Fuertes Martínez, Manuel Domínguez González and Serafín Alonso Castro</i>	
INNOVACIÓN PEDAGÓGICA EN LA FORMACIÓN DEL PERFIL PROFESIONAL PARA EL DESARROLLO DE PROYECTOS DE AUTOMATIZACIÓN INDUSTRIAL A TRAVÉS DE UNA APROXIMACIÓN HOLÍSTICA.....	517
<i>Juan Carlos Ríos, Zaneta Babel, Daniel Martínez, José María Paredes, Luis Alonso, Pablo Hernández, Alejandro García, David Álvarez, Jorge Miranda, Constantino Manuel Valdés and Jesús Alonso</i>	
Aprendiendo Simulación de Eventos Discretos con JaamSim	522
<i>Enrique Teruel and Rosario Aragüés</i>	
RED NEURONAL AUTORREGRESIVA NO LINEAL CON ENTRADAS EXÓGENAS PARA LA PREDICCIÓN DEL ELECTROENCEFALOGRAMA FETAL...	528
<i>Rosa M Aguilar, Jesús Torres and Carlos Martín</i>	
ANÁLISIS DEL COEFICIENTE DE TRANSFERENCIA DE MATERIA EN REACTORES RACEWAYS.....	534
<i>Marta Barceló, Jose Luis Guzman, Francisco Gabriel Acién, Ismael Martín and Jorge Antonio Sánchez</i>	
MODELADO DINÁMICO DE UN SISTEMA DE ALMACENAMIENTO DE FRÍO VINCULADO A UN CICLO DE REFRIGERACIÓN	539
<i>Guillermo Bejarano Pellicer, José Joaquín Suffo, Manuel Vargas and Manuel G. Ortega</i>	
Predictor Intervalar basado en hiperplano soporte	547
<i>José Manuel Bravo Caro, Manuel Vasallo Vázquez, Emilian Cojocarú and Teodoro Alamo Cantarero</i>	
Dynamic simulation applied to refinery hydrogen networks	555
<i>Anibal Galan Prado, Cesar De Prada, Gloria Gutierrez, Rafael Gonzalez and Daniel Sarabia</i>	

APROXIMACIÓN DE MODELOS ALGEBRAICOS MEDIANTE ALAMO Y ECOSIMPRO	563
<i>Carlos Gómez Palacín, José Luis Pitarch, Gloria Gutiérrez and Cesar De Prada</i>	
A Causal Model to Analyze Aircraft Collision Avoidance Deadlock Scenarios	569
<i>Miquel Àngel Piera Eroles, Julia de Homdedeu, Maria Del Mar Tous, Thimjo Koca and Marko Radanovic</i>	
ONLINE DECISION SUPPORT FOR AN EVAPORATION NETWORK	575
<i>José Luis Pitarch, Marc Kalliski, Carlos Gómez Palacín, Christian Jasch and Cesar De Prada</i>	
Predicción de la irradiancia a partir de datos de satélite mediante deep learning	582
<i>Javier Pérez, Jorge Segarra-Tamarit, Hector Beltran, Carlos Ariño, José Carlos Alfonso Gil, Aleks Attanasio and Emilio Pérez</i>	
MODELO DINÁMICO ORIENTADO AL TRATAMIENTO Y SEGUIMIENTO DE LA LEUCEMIA MIELOIDE CRÓNICA	589
<i>Gabriel Pérez Rodríguez and Fernando Morilla</i>	
Modelado y optimización de la operación de un sistema de bombeo de múltiples depósitos	596
<i>Roberto Sanchis Llopis and Ignacio Peñarrocha</i>	
DEVELOPMENT OF A GREY MODEL FOR A MEDIUM DENSITY FIBREBOARD DRYER IN ECOSIMPRO	604
<i>Pedro Santos, Jose Luis Pitarch and César de Prada</i>	
DETECCIÓN AUTOMÁTICA DE FALLOS MEDIANTE MONITORIZACIÓN Y OPTIMIZACIÓN DE LAS FECHAS DE LIMPIEZA PARA INSTALACIONES FOTOVOLTAICAS	611
<i>Jorge Segarra-Tamarit, Emilio Pérez, Hector Beltran, Enrique Belenguer and José Luis Gandía</i>	
Modelado de micro-central hidráulica para el diseño de controladores con aplicación en regiones aisladas de Honduras	618
<i>Alejandro Tapia Córdoba, Pablo Millán Gata, Fabio Gómez-Estern Aguilar, Carmelina Ierardi and Álvaro Rodríguez Del Nozal</i>	
FRAMEWORK PARA EL MODELADO DE UN LAGO DE DATOS	626
<i>J.M Torres, R.M. Aguilar, C.A. Martin and S. Diaz</i>	
SIMULADOR CARDIOVASCULAR PARA ENSAYO DE ROBOTS DE NAVEGACION AUTONOMA	633
<i>José Emilio Traver, Juan Francisco Ortega Morán, Ines Tejado, J. Blas Pagador, Fei Sun, Raquel Pérez-Aloe, Blas M. Vinagre and F. Miguel Sánchez Margallo</i>	
PLANIFICACION DE LA PRODUCCION BASADA EN CONTROL PREDICTIVO PARA PLANTAS TERMOSOLARES	641
<i>Manuel Jesús Vasallo Vázquez, José Manuel Bravo Caro, Emilian Cojocarú and Manuel Emilio Gegundez Arias</i>	
Evaluación multicriterio para la optimización de redes de energía	649
<i>Ascensión Zafra Cabeza, Rafael Espinosa, Miguel Àngel Ridao Carlini and Carlos Bordóns Alba</i>	
Percibiendo el entorno en los robots sociales del RoboticsLab	657
<i>Fernando Alonso Martín, Jose Carlos Castillo Montoya, Àlvaro Castro-Gonzalez, Juan José Gamboa, Marcos Maroto Gómez, Sara Marqués Villaroya, Antonio J. Pérez Vidal and Miguel Àngel Salichs</i>	

DISEÑO DE UNA PRÓTESIS DE MANO ADAPTABLE AL CRECIMIENTO	664
<i>Marta Ayats and Raul Suarez</i>	
COOPERATIVISMO BIOINSPIRADO BASADO EN EL COMPORTAMIENTO DE LAS HORMIGAS	672
<i>Brayan Bermudez, Kristel Novoa and Miguel Valbuena</i>	
PROCEDIMIENTO DE DISEÑO DE UN EXOESQUELETO DE MIEMBRO SUPERIOR PARA SOPORTE DE CARGAS	680
<i>Andrea Blanco Ivorra, Jorge Diez Pomares, David Lopez Perez, Francisco Javier Badesa Clemente, Miguel Ignacio Sanchez and Nicolas Garcia Aracil</i>	
Estructura de control en ROS y modos de marcha basados en máquinas de estados de un robot hexápodo	686
<i>Raúl Cebolla Arroyo, Jorge De Leon Rivas and Antonio Barrientos</i>	
USING AN UAV TO GUIDE THE TELEOPERATION OF A MOBILE MANIPULATOR	694
<i>Josep Arnau Claret and Luis Basañez</i>	
Estudio de los patrones de marcha para un robot hexápodo en tareas de búsqueda y rescate	701
<i>Jorge De León Rivas and Antonio Barrientos</i>	
SISTEMA DE INTERACCIÓN VISUAL PARA UN ROBOT SOCIAL	709
<i>Mario Domínguez López, Eduardo Zalama Casanova, Jaime Gómez García-Bermejo and Samuel Marcos Pablos</i>	
Mejora del Comportamiento Proxémico de un Robot Autónomo mediante Motores de Inteligencia Artificial Desarrollados para Plataformas de Videojuegos	717
<i>David Fernández Chaves, Javier Monroy and Javier Gonzalez-Jimenez</i>	
Micrófonos de contacto: una alternativa para sensado táctil en robots sociales	724
<i>Juan José Gamboa, Fernando Alonso Martín, Jose Carlos Castillo, Marcos Maroto Gómez and Miguel A. Salichs</i>	
Clasificación de información táctil para la detección de personas	732
<i>Juan M. Gandarias, Jesús M. Gómez-De-Gabriel and Alfonso García-Cerezo</i>	
Planificación para interceptación de objetivos: Integración del Método Fast Marching y Risk-RRT	738
<i>David Alfredo Garzon Ramos, Mario Andrei Garzon Oviedo and Antonio Barrientos</i>	
ESTABILIZACIÓN DE UNA BOLA SOBRE UN PLANO UTILIZANDO UN ROBOT PARALELO 6-RSS	746
<i>Daniel González, Lluís Ros and Federico Thomas</i>	
TELEOPERACIÓN DE INSTRUMENTOS QUIRÚRGICOS ARTICULADOS	754
<i>Ana Gómez Delgado, Carlos Perez-Del-Pulgar, Antonio Reina Terol and Victor Muñoz Martinez</i>	
CONTROL OF A ROBOTIC ARM FOR TRANSPORTING OBJECTS BASED ON NEURO-FUZZY LEARNING VISUAL INFORMATION	760
<i>Juan Hernández Vicén, Santiago Martínez de La Casa Díaz and Carlos Balaguer</i>	
PLATAFORMA BASADA EN LA INTEGRACIÓN DE MATLAB Y ROS PARA LA DOCENCIA DE ROBÓTICA DE SERVICIO	766
<i>Carlos G. Juan, Jose Maria Vicente, Alvaro Garcia and Jose Maria Sabater-Navarro</i>	

Estimadores de fuerza y movimiento para el control de un robot de rehabilitación de extremidad superior.....	772
<i>Aitziber Mancisidor, Asier Zubizarreta, Itziar Cabanes, Pablo Bengoa and Asier Brull</i>	
Definiendo los elementos que constituyen un robot social portable de bajo coste	780
<i>Marcos Maroto Gómez, José Carlos Castillo, Fernando Alonso-Martín, Juan José Gamboa, Sara Marqués Villarroya and Miguel Ángel Salichs</i>	
Interfaces táctiles para Interacción Humano-Robot	787
<i>Sara Marqués Villarroya, Jose Carlos Castillo Montoya, Fernando Alonso Martín, Marcos Maroto Gómez, Juan José Gamboa and Miguel A. Salichs</i>	
HERRAMIENTAS DE ENTRENAMIENTO Y MONITORIZACIÓN PARA EL DESMINADO HUMANITARIO	793
<i>Hector Montes, Roemi Fernandez, Pablo Gonzalez de Santos and Manuel Armada</i>	
Control a Baja Velocidad de una Rueda con Motor de Accionamiento Directo mediante Ingeniería Basada en Modelos	799
<i>Antonio José Muñoz-Ramírez, Jesús Manuel Luque-Bedmar, Jesus Manuel Gomez-De-Gabriel, Anthony Mandow, Javier Serón and Alfonso Garcia-Cerezo</i>	
SIMULACIÓN DE VEHÍCULOS AUTÓNOMOS USANDO V-REP BAJO ROS	806
<i>Cándido Otero Moreira, Enrique Paz Domonte, Rafael Sanz Dominguez, Joaquín López Fernández, Rafael Barea, Eduardo Romera, Eduardo Molinos, Roberto Arroyo, Luís Miguel Bergasa and Elena López</i>	
Cinemática y prototipado de un manipulador paralelo con centro de rotación remoto para robótica quirúrgica.....	814
<i>Francisco Pastor, Juan M. Gandarias and Jesús M. Gómez-De-Gabriel</i>	
ANÁLISIS DE ESTABILIDAD DE SINGULARIDADES AISLADAS EN ROBOTS PARALELOS MEDIANTE DESARROLLOS DE TAYLOR DE SEGUNDO ORDEN.....	821
<i>Adrián Peidro Vidal, Óscar Reinoso, Arturo Gil, José María Marín and Luis Payá</i>	
INTERFAZ DE CONTROL PARA UN ROBOT MANIPULADOR MEDIANTE REALIDAD VIRTUAL	829
<i>Elena Peña-Tapia, Juan Jesús Roldán, Mario Garzón, Andrés Martín-Barrio and Antonio Barrientos</i>	
Evolución de la robótica social y nuevas tendencias.....	836
<i>Antonio J. Pérez Vidal, Alvaro Castro-Gonzalez, Fernando Alonso Martín, Jose Carlos Castillo Montoya and Miguel A. Salichs</i>	
DISEÑO MECÁNICO DE UN ASISTENTE ROBÓTICO CAMARÓGRAFO CON APRENDIZAJE COGNITIVO	844
<i>Irene Rivas-Blanco, M Carmen López-Casado, Carlos Pérez-Del-Pulgar, Francisco García-Vacas, Víctor Fernando Muñoz, Enrique Bauzano and Juan Carlos Fraile</i>	
CÁLCULO DE FUERZAS DE CONTACTO PARA PRENSIONES BIMANUALES.....	852
<i>Francisco Abiud Rojas-De-Silva and Raul Suarez</i>	
Modelado del Contexto Geométrico para el Reconocimiento de Objetos.....	860
<i>José Raúl Ruiz Sarmiento, Cipriano Galindo and Javier Gonzalez-Jimenez</i>	
Estimación Probabilística de Áreas de Emisión de Gases con un Robot Móvil Mediante la Integración Temporal de Observaciones de Gas y Viento	868
<i>Carlos Sanchez-Garrido, Javier Monroy and Javier Gonzalez-Jimenez</i>	

MANIPULADOR AÉREO CON BRAZOS ANTROPOMÓRFICOS DE ARTICULACIONES FLEXIBLES	876
<i>Alejandro Suarez, Guillermo Heredia and Anibal Ollero</i>	
EVALUACIÓN DE UN ENTORNO DE TELEOPERACIÓN CON ROS	864
<i>David Vargas Frutos, Juan Carlos Ramos Martínez, José Luis Samper Escudero, Miguel Ángel Sánchez-Urán González and Manuel Ferre Pérez</i>	

Sistemas de Tiempo Real

GENERACIÓN DE CÓDIGO IEC 61131-3 A PARTIR DE DISEÑOS EN GRAFCET....	892
<i>María Luz Alvarez Gutierrez, Isabel Sarachaga Gonzalez, Arantzazu Burgos Fernandez, Nagore Iriondo Urbistazu and Marga Marcos Muñoz</i>	
CONTROL EN TIEMPO REAL Y SUPERVISIÓN DE PROCESOS MEDIANTE SERVIDORES OPC-UA	900
<i>Francisco Blanes Noguera and Andrés Benlloch Faus</i>	
Control de la Ejecución en Sistemas de Criticidad Mixta	906
<i>Alfons Crespo, Patricia Balbastre, Jose Simo and Javier Coronel</i>	
GENERACIÓN AUTOMÁTICA DEL PROYECTO DE AUTOMATIZACIÓN TIA PORTAL PARA MÁQUINAS MODULARES	913
<i>Darío Orive, Aintzane Armentia, Eneko Fernandez and Marga Marcos</i>	
DDS en el desarrollo de sistemas distribuidos heterogéneos con soporte para criticidad mixta	921
<i>Hector Perez and J. Javier Gutiérrez</i>	
ARQUITECTURA DISTRIBUIDA PARA EL CONTROL AUTÓNOMO DE DRONES EN INTERIOR	929
<i>Jose-Luis Poza-Luján, Juan-Luis Posadas-Yaguë, Giovanni-Javier Tipantuña-Topanta, Francisco Abad and Ramón Mollá</i>	
Ingeniería Conducida por Modelos en Sistemas de Automatización Flexibles	935
<i>Rafael Priego, Elisabet Estévez, Darío Orive, Isabel Sarachaga and Marga Marcos</i>	
Estudio e implementación de Middleware para aplicaciones de control distribuido	942
<i>Jose Simo, Jose-Luis Poza-Lujan, Juan-Luis Posadas-Yaguë and Francisco Blanes</i>	

Visión por Computador

Real-Time Image Mosaicking for Mapping and Exploration Purposes	948
<i>Abdulla Al-Kaff, Juan Camilo Soto Triviño, Raúl Sosa San Frutos, Arturo de La Escalera and José María Armingol Moreno</i>	
ALGORITMO DE SLAM UTILIZANDO APARIENCIA GLOBAL DE IMÁGENES OMNIDIRECCIONALES	956
<i>Yerai Berenguer, Luis Payá, Mónica Ballesta, Luis Miguel Jiménez, Sergio Cebollada and Oscar Reinoso</i>	
Medición de Oximetría de Pulso mediante Imagen fotopletismográfica.....	964
<i>Juan-Carlos Cobos-Torres, Jordan Ortega Rodríguez, Pablo J. Alhama Blanco and Mohamed Abderrahim</i>	
Algoritmo de captura de movimiento basado en visión por computador para la teleoperación de robots humanoides	970
<i>Juan Miguel Garcia Haro and Santiago Martinez de La Casa</i>	

COMPARACIÓN DE MÉTODOS DE DETECCIÓN DE ROSTROS EN IMÁGENES DIGITALES	976
<i>Natalia García Del Prado, Victor Gonzalez Castro, Enrique Alegre and Eduardo Fidalgo Fernández</i>	
LOCALIZACIÓN DEL PUNTO DE FUGA PARA SISTEMA DE DETECCIÓN DE LÍNEAS DE CARRIL	983
<i>Manuel Ibarra-Arenado, Tardi Tjahjadi, Sandra Robla-Gómez and Juan Pérez-Oria</i>	
Oculus-Crawl, a Software Tool for Building Datasets for Computer Vision Tasks	991
<i>Iván De Paz Centeno, Eduardo Fidalgo Fernández, Enrique Alegre Gutiérrez and Wesam Al Nabki</i>	
Clasificación automática de obstáculos empleando escáner láser y visión por computador ..	999
<i>Aurelio Ponz, Fernando Garcia, David Martin, Arturo de La Escalera and Jose Maria Armingol</i>	
T-SCAN: OBTENCIÓN DE NUBES DE PUNTOS CON COLOR Y TEMPERATURA EN INTERIOR DE EDIFICIOS	1007
<i>Tomás Prado, Blanca Quintana, Samuel A. Prieto and Antonio Adan</i>	
EVALUACIÓN DE MÉTODOS PARA REALIZAR RESÚMENES AUTOMÁTICOS DE VÍDEOS	1015
<i>Pablo Rubio, Eduardo Fidalgo, Enrique Alegre and Víctor González</i>	
SIMULADOR PARA LA CREACIÓN DE MUNDOS VIRTUALES PARA LA ASISTENCIA A PERSONAS CON MOVILIDAD REDUCIDA EN SILLA DE RUEDAS ..	1023
<i>Carlos Sánchez Sánchez, María Cidoncha Jiménez, Emiliano Pérez, Ines Tejado and Blas M. Vinagre</i>	
Calibración Extrínseca de un Conjunto de Cámaras RGB-D sobre un Robot Móvil	1031
<i>David Zúñiga-Nöel, Rubén Gómez Ojeda, Francisco-Ángel Moreno and Javier González Jiménez</i>	

ADVANCED CONTROL BASED ON MPC IDEAS FOR OFFSHORE HYDROGEN PRODUCTION

Álvaro Serna

Department of Systems Engineering and Automatic Control, University of Valladolid, Valladolid, Spain.
alvaro.serna@autom.uva.es

Fernando Tadeo

Department of Systems Engineering and Automatic Control, University of Valladolid, Valladolid, Spain.
fernando@autom.uva.es

Julio Elías Normey-Rico

Automation and Systems Department, Federal University of Santa Catarina, Florianópolis, Brazil.
julio.normey@ufsc.br

Summary

The article deals with the design of a Model Predictive Control strategy in an offshore platform located in the Atlantic Ocean that produces hydrogen from the energy of the wind and the waves. This renewable energy is the energy source that feeds a set of electrolyzers which produce hydrogen, taking into account the energy available and optimizing the operation of the plant. The results of the simulation are presented, showing the correct operation of the platform under the proposed control.

Keywords: Hydrogen; renewable energy; model predictive control.

1 INTRODUCTION

This paper evaluates the design of an Energy Management System for Hydrogen production (EMS_H) using advanced algorithms based on Model Predictive Control (MPC) ideas to balance the consumption of power by electrolysis units in an offshore platform, with the aim of maximizing hydrogen production.

This approach is more advanced than previous EMS_H defined for the H2OCEAN plant [1,2] as it takes into account a cost function which optimizes the operation of the electrolysis plant. We focus here only in the hydrogen production numerically but taking into account the reduction of the number of connection/disconnections (in order to improve the state of health of the electrolyzers). Moreover, the proposed approach makes possible for system operator to know in advance the expected production and, therefore, schedule preventive-predictive maintenance operations on the electrolyzer units.

For simplicity, in this paper renewable hydrogen is locally generated by wind turbines and wave energy

converters and it is fully used (no storage or external sources are considered), but the results can be easily extended to the most common situation of using only the excess of energy from renewable sources [3].

The EMS_H developed in this paper follows a smart grid approach for the local micro grid [4]. In comparison with previous works [2], this proposal focuses on using an advanced control system to optimize hydrogen production and improves the operation of the appliances.

The energy generated at the platform by wind and waves is balanced by regulating the operating point of each electrolysis unit and its connections or disconnections, using a MPC. The term MPC does not designate a specific control strategy, but a very ample range of control methods which make an explicit use of a model of the process to obtain the control signal by minimizing an objective function [5].

The MPC presented in this paper is based on a Mixed-Integer-Quadratic-Programming (MIQP) algorithm which makes it possible to take into account predictions of available power and power consumption, improving the balance and reducing the number of connections and disconnections of the devices. Furthermore, a non-linear model with binary and continuous variables is developed in this paper, which is then transformed in such a way that an MIQP can be used to solve the MPC optimization at each step.

A case study is presented in this paper composed of wave and wind energies feeding a set of electrolyzers. The class of electrolyzers considered in this work are high-pressure and temperature alkaline electrolyzers, as they generate hydrogen with a purity better than 99.97%, which is the quality used in the automotive industry [6], and are already available at the power levels that make the technology cost-efficient (about MW). This work is organized in the following manner: Section 2 gives an overall description of the process and the variables that will

be used in the MCP. Section 3 deals with the control proposal and the optimization problem, whereas Section 4 shows a case study proposed in a certain location showing the adequate operations of the proposed EMS_H. Finally Section 5 gives some conclusions.

2 MATERIAL AND METHOD

This work falls within the innovative idea that consists of hydrogen offshore production by a combination of renewable energies. This paper focuses on the design of an advanced control algorithm of the H2OCEAN platform based on MPC ideas.

2.1 PROCESS DESCRIPTION

Fig. 1 depicts the components of the proposed renewable hydrogen platform: two renewable energy sources (wave and wind) supply electricity to the process. This electricity is generated in a WEC (Wave Energy Converter) coupled to a VAWT (Vertical Axes Wind Turbine) from a hybrid device, and is used in the electrolyzers as scheduled by the EMS_H that will be described in Section 3. An electrolyzer is a piece of electrochemical apparatus (something that uses electricity and chemistry at the same time) designed to perform electrolysis: splitting a solution into the atoms from which it is made by passing electricity through it [7]. The proposed EMS_H is aimed at adapting the production of hydrogen to the available energy using degrees of freedom of the advanced control system, so the hydrogen produced is maximized without degrading the electrolyzers.

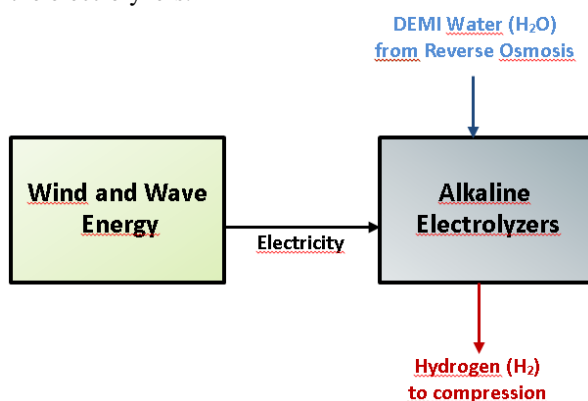


Figure 1: Block structure of the renewable hydrogen platform.

2.2 MANIPULATED AND CONTROLLED VARIABLES

The manipulated variables of the proposed EMS_H are the operating points for each electrolyzer, known as capacity factors. They are mathematically denoted by $\alpha_i(k)$, where k represents the discrete time in samples

(a sample time of 1 hour is used) and the suffix i is used to identify each device. Moreover:

- $\alpha_i(k) = 0$ if the electrolyzer i is disconnected at time k .
- $\alpha_i(k)$ is between $[\underline{\alpha}_i \ \bar{\alpha}_i]$ if the electrolyzer is connected, where $\underline{\alpha}_i$ and $\bar{\alpha}_i$ are minimum and maximum values (between 0 and 1) fixed by the manufacturer due to technological limitations.

In addition, binary variables $\delta_i(k) \in \{0,1\}$ are used where 0 corresponds to electrolyzer disconnection and 1 to electrolyzer connection [8].

The model of the electrolyzers is represented by the following equations with parameters a and b that are obtained from manufacturer's data and measurements from the plant:

$$\hat{H}_i(k) = \frac{\alpha_i(k) \cdot \delta_i(k)}{a_i \alpha_i(k) + b_i} \cdot \bar{P}_i \quad (1)$$

$$\hat{P}_i(k) = \bar{P}_i \cdot \hat{\alpha}_i(k) \cdot \hat{\delta}_i(k) \quad (2)$$

Equations (1) and (2) show the controlled variables of electrolyzer i : $\hat{P}_i(k)$ and $\hat{H}_i(k)$. On the one hand, $\hat{H}_i(k)$ is the predicted hydrogen production of electrolyzer i at time k . On the other hand, $\hat{P}_i(k)$ is the predicted energy consumption of device i whereas \bar{P}_i is its maximum power at the sample time. Parameters a_i , b_i and \bar{P}_i are used to define the device operation which gives the relationship between consumed energy and hydrogen production.

Fig. 2 depicts the controlled and manipulated variables for the electrolyzer unit.

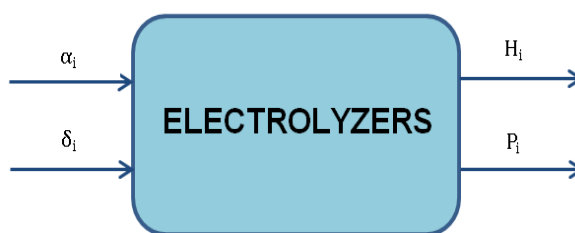


Figure 2: Scheme of the controlled and manipulated variables.

Note that the model of the electrolyzers used here is static because the time required for them to vary α from the minimum to the maximum value is less than a few minutes in the worst case, thus, these dynamics can be neglected as the sampling time for the EMS_H proposed here is one hour [9].

Fig. 3 shows the ratio H_i/P_i in the production of hydrogen by electrolysis as a function of the capacity factor (α) for the two types of electrolyzers considered which will be explained in the case study.

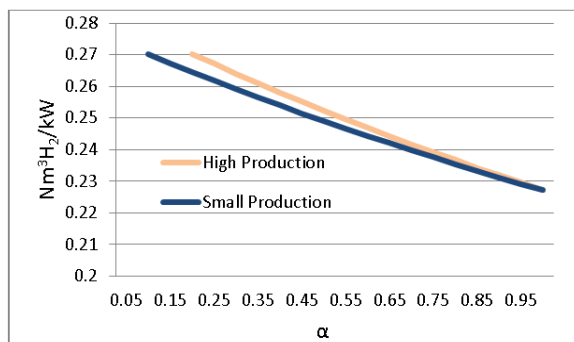


Figure 3: Ratio H₂ produced/Power consumed at different α ($a_1 = 0.875\text{kW}/\text{Nm}^3$, $b_1 = 0.875\text{kW}/\text{Nm}^3$, $a_2 = 0.778\text{kW}/\text{Nm}^3$, $b_2 = 3.625\text{kW}/\text{Nm}^3$)

2.3 MODEL PREDICTIVE CONTROL FOR HYDROGEN PRODUCTION

Comparing with other methods of process control, MPC can be used to solve the most common problems in today's industrial processes, which need to be operated under tight performance specification where many constraints need to be satisfied. The principal elements in MPC are the objective function to be minimized, the model used to compute the predictions of the controlled variables, the definition of the process constraints and the method applied to solve the optimization problem [10]. Fig. 4 shows the EMS_H based on MPC ideas, where the optimization block receives information from the model block (electrolysis plant), which is responsible for computing the predictions of the plant output in a defined horizon N.

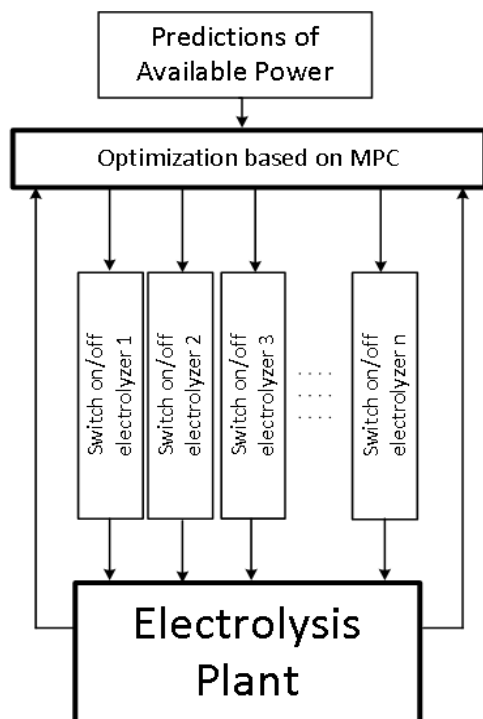


Figure 4: Proposed EMS_H based on MPC ideas.

A model which was depicted in equations (1) and (2) is used to predict the future outputs based on past and current values and on the proposed optimal future control actions. These actions are calculated by the optimizer taking into account the cost function (where the future tracking error is considered) as well as the constraints [10]. The MPC algorithm developed in this paper follows the Dynamic Matrix Control (DMC) method. It takes only into account the N_u horizon control first terms. Therefore assuming the process to be stable and without integrator. One of the characteristics of this method making it very popular in the industry is the addition of constraints. Optimization (numerical because of the presence of constraints) is carried out at each sampling instant and the value of $u(t)$ is sent to the process. The inconveniences of this method are the size of process model required and also the inability to work with unstable processes [10].

3 CONTROL PROPOSAL

The control algorithm designed in this work aims to maximize the hydrogen produced by electrolysis considering different aspects, such as the limitation in the available power and the operational constraints. Three main objectives must be fulfilled:

O1: To maximize the hydrogen production, the difference between the values of the prediction and its desired values for each electrolyzer is minimized for all the devices along the prediction horizon (N).

O2: To maximize the operation of the devices, the discrete variables defining the connection or disconnection condition should be, whenever possible, equal to one (connection condition) along N.

O3: Energy consumed by the devices should always be smaller than the energy supplied from the wind and waves ($\hat{P}_{\text{available}}(k)$) but tries to be equal.

3.1 COST FUNCTION

Equation (3) shows the quadratic cost function considered in this work. It is solved in each sample time to maximize production, without excess connections/disconnections:

$$J = \sum_{i=1}^n \sum_{j=1}^N [(\hat{H}_i(k+j) - \bar{H}_i(k+j))^2 Q_{Hi} + \sum_{i=1}^n \sum_{j=1}^{N_u} (\delta_i(k+j) - 1)^2 Q_{\delta i}] \quad (3)$$

This equation considers, in a prediction and control horizons of N and N_u samples respectively, the error between the predictions of hydrogen produced (\hat{H}_i) and its desired values (\bar{H}_i) while also penalizing the

number of connections and disconnections. Besides, Q_{H_i} and Q_{δ_i} are the weighting factors for the error and the control action, δ_i , respectively. The first term of (3) is used for **O1**, while the second term of this equation aims to achieve **O2**.

To solve this problem, the predictions of the hydrogen production are expressed as a function of the future control actions $\hat{\alpha}_i$ and $\hat{\delta}_i$, and the past values of these inputs and the outputs H_i and P_i . These predictions are obtained using the electrolyzer models (1) and (2). Thus, using (3) with all the system constraints and the electrolyzer models, It can be shown that the optimization problem to be solved at each sample time is (4), where the last constraint aims to solve **O3**.

$$\begin{aligned} \min_{(\alpha_i, \delta_i)} J \\ \text{s.t.} \quad \left\{ \begin{array}{l} \delta_i \in \{0, 1\} \\ \underline{\alpha}_i \leq \alpha_i \leq \bar{\alpha}_i \\ \hat{P}_i(k) = \bar{P}_i \cdot \hat{\alpha}_i(k) \cdot \hat{\delta}_i(k) \\ \hat{H}_i(k) = \frac{\hat{\alpha}_i(k) \cdot \hat{\delta}_i(k)}{a_i \cdot \hat{\alpha}_i(k) + b_i} \cdot \bar{P}_i \\ \sum_{i=1}^n \hat{P}_i(k) \leq \hat{P}_{\text{available}}(k) \end{array} \right. \quad (4) \end{aligned}$$

3.2 CONSTRAINTS

Constraints were included in (4). They are mathematically given by:

$$\alpha_i(k+j) \leq \bar{\alpha}_i \quad (5)$$

$$\alpha_i(k+j) \geq \underline{\alpha}_i \quad (6)$$

The following constraint (7) must be considered to fulfil **O3**: at each sample (k), the total energy consumed should always be smaller than the predicted available from the wind and waves $\hat{P}_{\text{available}}(k)$. Considering MPC ideas, the vector of predictions of available power, $\hat{P}_{\text{available}}(k)$, is calculated over N_u using real meteorological data. Hence, the constraint in the consumed energy is:

$$\sum_{i=1}^n \bar{P}_i \cdot \hat{\alpha}_i(k+j) \leq \hat{P}_{\text{available}}(k+j) \quad j = 1, 2, \dots, N_u \quad (7)$$

3.3 MPC STRATEGY

As it has been seen in Section 2.3, the MPC based on DMC ideas used in this advanced control algorithm includes a cost function (see Equation (4)) which considers, in a horizon of N samples, the error between the produced hydrogen \hat{H}_i and its desired

values (\bar{H}_i) and also the number of electrolyzers in operation ($\hat{\delta}_i$). J is solved at each sample time using receding horizon estimation.

With this, the optimization problem solved each sample time aims to optimize hydrogen production (\hat{H}_i) and minimizes the consumption \hat{P}_i .

For the H2OCEAN platform [1], the predictions are wave height, wave period and wind speed, but other different sources can be used of different proposal. Then, the future predictions of the output (hydrogen production, vector \hat{H}_i) are expressed as a function of the future control actions (vectors \hat{H}_i and \hat{H}_i) and the past values of the inputs and outputs. In the case of the electrolyzers modelled here, only a static model is considered. Thus a structure of the EMS_H control algorithm proposed in this paper is depicted in Fig. 5.

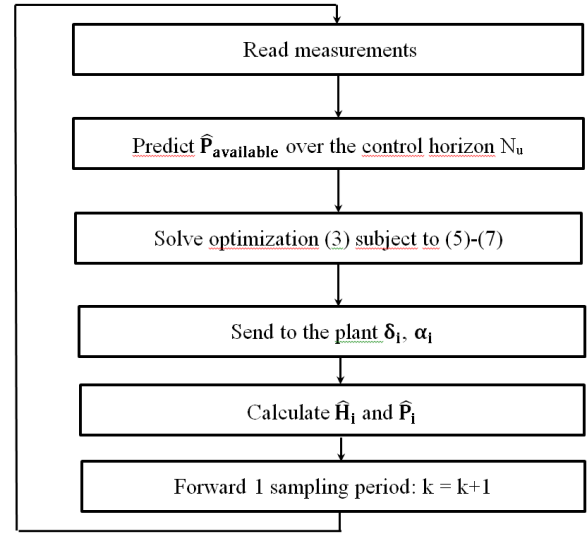


Figure 5: Structure of the EMS_H control algorithm

4 CASE STUDY

We now present the case study, which is a simulation of the platform with a perfect knowledge. The platform is made up of two different parts: one is the energy source and the other consumes the energy to generate hydrogen. To produce the energy for the renewable hydrogen plant, two sources (wind and waves) have been considered. Wind energy was chosen as it is a mature technology [11] and wave energy as it provides lower variability in the energy production [12]. A co-located hybrid device of 1 vertical axis wind turbine (VAWT) of 5.0 MW peak power and 1 wave energy converter (WEC) of 1.6 MW peak power were chosen according to the studies developed in the project H2OCEAN [1]. This hybrid VAWT-WEC device provides the energy: it consists of a platform with a hull (where the VAWT is located) and a cross bridge where four pitching wave energy converters are placed. The wave energy converters also reduce the motion of the platform and passively rotate it to face the waves.

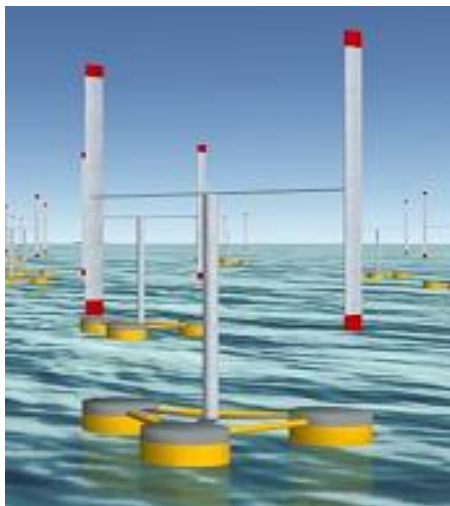


Figure 5: A co-located VAWT-WEC device [1]

To produce hydrogen, different NEL A485 electrolyzers were chosen. The main gas storage containers are located on two floating units, well separated from both the hydrogen production and each other. The alkaline electrolyzers operate slightly above ambient pressure and are further equipped with pressure relief equipment, to prevent overpressure operation.

4.1 RESULTS AND DISCUSSION

A simulation was carried out using one hybrid device of 5.0 + 1.6 MW for the energy production. Meteorological data from a certain location in the Atlantic Ocean were used provided by Agencia Estatal de Meteorología (AEMET). Fig. 6 shows wave period predictions whereas Fig. 7 shows wave height predictions.

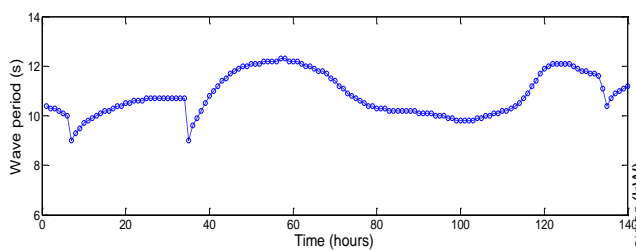


Figure 6: Meteorological wave period predictions.

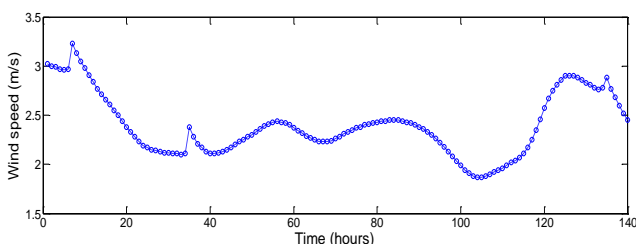


Figure 7: Meteorological wave height predictions.

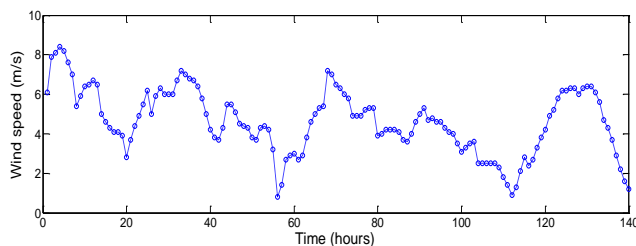


Figure 8: Meteorological wind speed predictions.

Three NEL electrolyzers (two high production of 2.134 MW rated and one small production of 0.220 MW rated) were chosen for this case study.

A control horizon of 3 hours, a prediction horizon of 3 hours and a sampling time of 1 hour were selected to validate de EMS_H. Thus, $n = 3$, $N_u = 3$ and $N = 3$. To optimize, and MIQP solver in the MATLAB[®] TOMLAB[®] was used. This optimization solver has been used for predictive control in different works [13, 14]. The available energy at each time k is different from the one predicted in the previous step.

For this case study, some results for 140 hours of operation are shown in Figs. 9 to 13. These results confirm the correct operation of the advanced control system designed in this paper.

Fig. 9 shows the power provided by the renewable energy sources (black line) and the power consumed (red line) by the electrolyzers. As it can be seen in the simulation, the controller maintains the consumed power very near the available one. As a consequence of this, the hydrogen produced is near the achievable maximum.

This happens because an ideal operation was supposed. It must be pointed out that perfect knowledge of the electrolyzers parameters are assumed and correspond to the manufacturer's data. In practice there are some tolerances and variations in parameters.

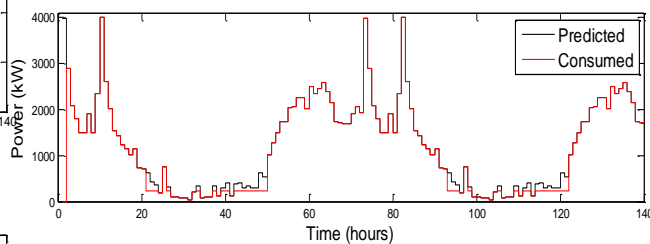


Figure 9: Power available and consumed.

Fig. 10 shows the operation of the electrolyzer $i = 1$ (high production). As expected, this device is not connected/disconnected very often by the proposed EMS_H and α_1 is always between the requested bounds $\bar{\alpha}_1$ and $\underline{\alpha}_1$

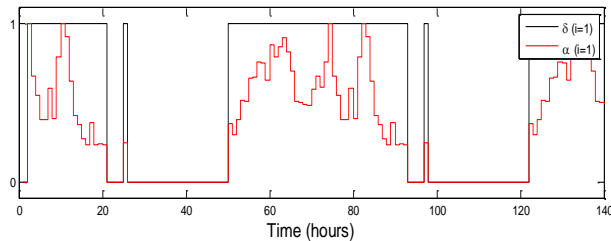


Figure 10: Operation of electrolyzer $i = 1$.

Fig. 11 shows the operation of the second high production electrolyzer ($i = 2$). This operation is different from the electrolyzer $i = 1$ because they have different weighting factors. Thus, here the capacity factor α_1 is almost always at the lower bound $\underline{\alpha}_2$. As it is not disconnected frequently, it can be considered that the control algorithm is well designed and tuned.

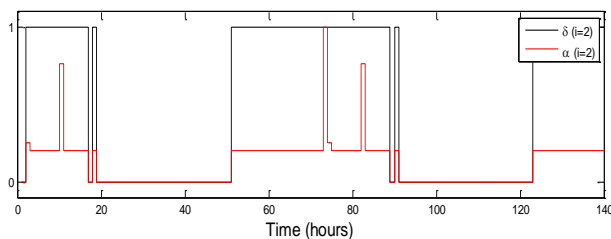


Figure 11: Operation of electrolyzer $i = 2$.

Electrolyzer $i = 3$ (Fig. 12) is more connected because its operation is bigger than the operation of the high production electrolyzers, therefore the operation of this device can also be considered correct. As in the other electrolyzers, the values of the manipulated variables are always between the defined bounds.

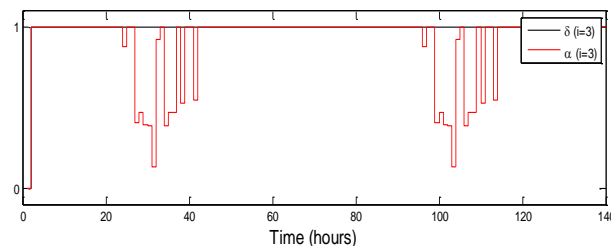


Figure 12: Operation of electrolyzer $i = 3$.

5 CONCLUSIONS

The main conclusions of this paper are the following:

- The Mixed-Integer-Quadratic-Programming for the MPC allows the capacity factor of each electrolysis unit and its connections or disconnections to be regulated.
- In the two case studies, the error between the predicted and the desired powers consumed by each electrolyzer is minimized for all devices along the prediction horizon N .

- The operation of the electrolysis set is maximized, since the discrete variables defining the connection/disconnection condition of the electrolysis is actioned along the prediction horizon, as much as possible.
- The MPC control strategy ensures the hydrogen production continuity, since the energy consumed by the electrolysis is almost equal to the energy supplied from the wind and waves during the prediction horizon.
- The electrolyzer's state of health is ensured, thanks to the minimization of the switching between the connection/disconnection states.

Acknowledgements

This work was partly supported by MiCInn DPI2014-5430-R and the European Comission (7th Framework Programme, grant agreement 288145, Ocean of Tomorrow Joint Call 2011). The author thanks the financial support given by Junta de Castilla y León (EDU/1083/2013). Also thanks to AEMET for providing meteorological data.

Prof. Normey-Rico thanks CNPq-Brazil for the financial support under projects 305785/2015-0 and 401126/2014-5.

References

- [1] H2ocean-project.eu, (2014). H2Ocean. [online] Disponible en: <http://www.h2ocean-project.eu/> [Visitado 6 June. 2017].
- [2] Serna, A., Tadeo, F., (2014) "Offshore hydrogen production from wave energy" *International Journal of Hydrogen Energy*, 39 (3), 1549-1557.
- [3] Valverde, L., Bordons, F., Rosa, F., (2016) "Integration of fuel cell technologies in renewable-energy-based microgrids optimizing operational cost and durability" *IEEE Transactions on Industrial Electronics*, 63(1), 167-177.
- [4] Serna, A., Yahyaoui, I., Normey-Rico, J. E., de Prada, C., Tadeo, F., (2017) "Offshore hydrogen production from wave energy" *International Journal of Hydrogen Energy*, 42 (17), 12865-12876.
- [5] Afram, A., Janabi-Sharifi, F., (2014) "Theory and applications of HVAC control systems – A review of model predictive control (MPC)" *Buiding and Environment*, 72, 343-355.
- [6] Aprea, J. L., (2014) "Quality specification and safety in hydrogen production, commercialization and utilization"

International Journal of Hydrogen Energy, 39 (16), 8604-8608.

- [7] Kong, Y. T., (2016) “An Analysis of the Recognition on Definition and Mechanism of Electrolysis for University Students Major in Science Education” *Journal of Applied Chemistry*, 12(3), 463-481.
- [8] Mendes, P. R., Maestre, J. M., Bordons, C., Normey-Rico, J. E., (2017) “A practical approach for hybrid distributed MPC” *Journal of process Control*, 55, 30-41.
- [9] Serna A., Normey-Rico J.E., Tadeo F., (2015) “Model predictive control of hydrogen production by renewable energy”. The 6th International Renewable Energy Congress IREC 2015. Sousse Tunisia.
- [10] Camacho, E. F., Bordons, C., (2013) “Model predictive control” *Springer Science and Business Media*.
- [11] Friebe, C. A., von Flotow, P., Täube, F. A., (2014) “Exploring technology diffusion in emerging markets-the role of public policy for wind energy” *Energy Policy*, 70, 217-226.
- [12] Vicinanza, D., Contestabile, P., Ferrante, V., (2013) “Wave energy potential in the north-west of Sardinia (Italy)” *Renewable Energy*, 50, 506-521.
- [13] Nandola, N. N., Rivera, D. E., (2013) “An improved formulation of hybrid model predictive control with application to production-inventory systems” *IEEE Transactions on Control Systems Technology*, 21(1), 121-135.
- [14] Zhong, S., Zhang, Y., (2013) “How to select optimal gateway in multi-domain wireless networks: Alternative solutions without learning” *IEEE Transactions on Wireless Communicatios*, 12(11), 5620-5630.